

# $^{131}\text{Pm}$ 衰变的首次观测 \*

甘再国 郭俊盛 石立军 刘洪业 秦芝 郭天瑞 雷相国  
马瑞昌 黄文学 袁双贵 张学谦 靳根明

(中国科学院近代物理研究所 兰州 730000)

**摘要** 利用 $^{32}\text{S}$ 轰击 $^{106}\text{Cd}$ 靶,通过 $3\text{p}4\text{n}$ 反应产生了 $^{131}\text{Pm}$ ,反应产物经过毛细管及带收集传输系统传输到低本底区,测量了反应产物的X,γ单谱,并进行了X-γ,γ-γ符合测量,得到了 $^{131}\text{Pm}$ 的半衰期及衰变γ线,并建立了简单的衰变纲图.

**关键词**  $^{131}\text{Pm}$  的衰变 半衰期 纲图

## 1 引言

对 $Z > 50, N < 82$ 区域缺中子核的研究可以获得特别丰富的核结构信息,揭示出很多有趣的现象(如集体运动和单粒子激发的共存等)<sup>[1-3]</sup>. 因此对这一区域核的研究,为各种核模型提供了很好的检验机会,如系统研究这些核能揭示形变随中子数的减少而增大. 对这一区域很多核都只是进行了在束γ的研究,而对其低位能级却研究得很少,但这对于人们进行理论计算和深入理解核结构却是很重要的. 这些信息可以利用β跃迁后的伴随衰变研究得到.

通过 $11/2$ 态的跃迁,对于奇质量数同位素 $^{133, 135, 137}\text{Pm}$ 已进行了研究,结果表明这些核都有很强的 $11/2 \rightarrow 11/2$ 能级跃迁<sup>[1, 3, 4]</sup>,对 $^{132}\text{Pm}$ 也已经用β延迟质子发射方法进行了研究<sup>[5]</sup>,而对 $^{131}\text{Pm}$ ,虽然A. N. James等人<sup>[6]</sup>报道了它的三条在束γ线,但仍然没有关于它的衰变研究的任何报道,在本工作中对 $^{131}\text{Pm}$ 的衰变进行了研究,并获得了它的一些低位态衰变的信息.

## 2 实验装置及实验

所用实验装置如图1所示,它包括靶室、氦喷嘴长毛细管传输系统、带收集传输系统及测量系统. 反应产物从靶中反冲到氦气里被慢化,慢化后的产物由氦气载带着通过一根长毛细管输送到低本底区. 氦气被高抽速泵抽走,而反应产物收集到带传输系统的收

1997-08-12收稿

\* 国家自然科学基金(19475052)和中国科学院重大项目资助

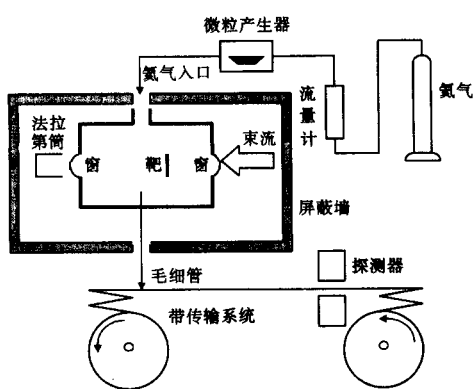


图1 实验装置图

集带上。收集一定的时间后，产物随收集带到达探测系统处，然后对反应产物的活性进行测量。

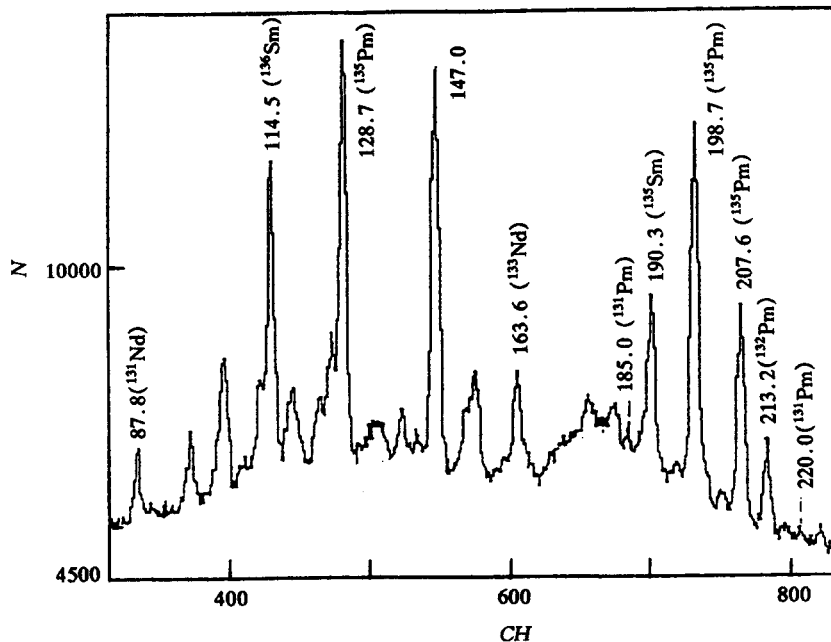
实验是在中国科学院近代物理研究所的SFC加速器上进行的，利用该所提供的<sup>32</sup>S束流轰击<sup>106</sup>Cd靶，通过<sup>106</sup>Cd(<sup>32</sup>S, 3p4n)<sup>131</sup>Pm反应产生<sup>131</sup>Pm。实验所用的<sup>32</sup>S束流强度为0.5μA，能量为170MeV，浓缩的<sup>106</sup>Cd靶的厚度为1.8mg/cm<sup>2</sup>，丰度大于85%。产物的测量和收集时间都为40min。所用探测器有平面型高纯锗探测器和GMX型高纯锗探测器。对这些探测器都用标准源进行了刻度。测量

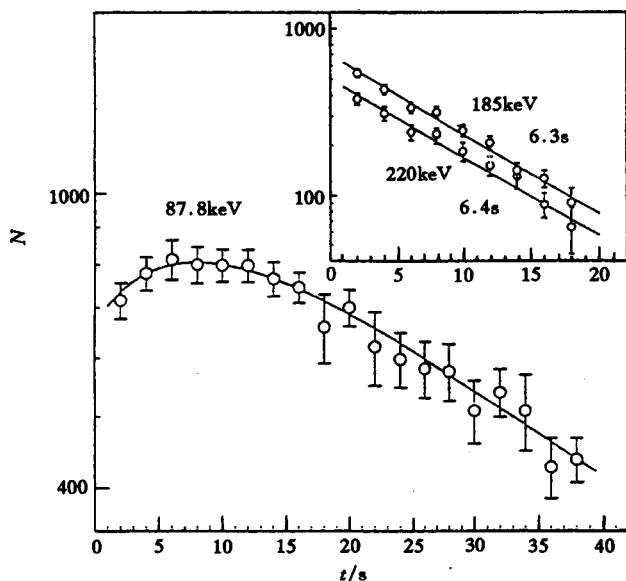
了反应产物的X、γ单谱及X-γ、γ-γ符合测量。

### 3 结果和分析

#### 3.1 <sup>131</sup>Pm的鉴别及半衰期

图2显示了测得的部分低能衰变γ谱，由图可以清楚地看到87.8、185.0、220.0keV的γ射线。87.8keV的γ射线与Pr元素的X射线符合，这条γ射线已经被指认为是<sup>131</sup>Nd核的γ衰变<sup>[7]</sup>。通过对这条γ线的处理得到如图3的一条生长-衰变曲线，很明显它有一个生长的过程

图2 <sup>32</sup>S+<sup>106</sup>Cd反应产物的部分γ衰变谱(能量为keV)

图3  $^{131}\text{Pm}$ 核的生长-衰变曲线

程,这说明 $^{131}\text{Nd}$ 核不是直接产生的,而是从它的母核衰变而来的。用放射性生长-衰变分析程序对该曲线进行拟合,得到生长部分的半衰期是6.7s,衰变部分的半衰期是25s,后者与已知的 $^{131}\text{Nd}$ 核的半衰期<sup>[8]</sup>能很好地符合,前者应为 $^{131}\text{Nd}$ 的母核 $^{131}\text{Pm}$ 的半衰期。同时,实验还对185.0和220.0keV的 $\gamma$ 射线进行了分析,发现它们都与Nd的特征X射线符合,分析还发现它们都只具有衰变的特性(见图3),根据它们的衰变曲线得到的半衰期分别为6.3s和6.4s,这与上述87.8keV $\gamma$ 射线生长部分的半衰期在误差范围内是一致的。通过对已知的Nd同位素的在束能级进行比较和分析发现,除了 $^{131}\text{Nd}$ 核以外,在低位能级没有其它核符合以上条件,因此可以指定能量为185.0和220.0keV的 $\gamma$ 射线来自 $^{131}\text{Pm}$ 的衰变。

为了得到 $^{131}\text{Pm}$ 核的半衰期的实验值,对185.0、220.0keV $\gamma$ 射线衰变半衰期6.3、6.4s以及87.8keV $\gamma$ 线的生长半衰期6.7s,通过权重平均的方法,首次得到了 $^{131}\text{Pm}$ 核的半衰期为 $(6.3 \pm 0.8)$ s,它与Gross理论的预言值5.0—8.45s

基本一致。

### 3.2 建议的 $^{131}\text{Pm}$ 核简单衰变纲图

根据对X- $\gamma$ , $\gamma$ - $\gamma$ 符合测量结果的分析发现,185.0、220.0keV及146.0keV3条 $\gamma$ 射线都与Nd的特征X射线存在符合关系,并且这3条 $\gamma$ 射线之间也存在着符合关系。表明这3条 $\gamma$ 射线来自同一核,并且它们之间存在着级联关系。此外,又根据已知的奇A Pm同位素<sup>[3,4]</sup>的系统性,可以认为 $^{131}\text{Pm}$ 核的基态自旋和宇称为 $11/2^-$ 。综合上述对符合测量的分析与假定,又同从

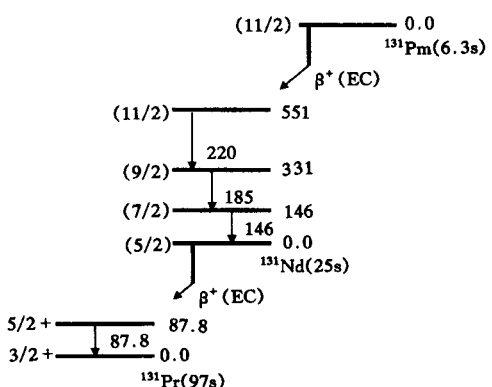


图4 建议的部分衰变纲图

在束谱学得到的 $^{131}\text{Nd}$ 核的低位低自旋态的结果<sup>[7]</sup>进行比较,建议了 $^{131}\text{Pm}$ 核的简单衰变纲图示于图 4.

建议的 $^{131}\text{Pm}$ 核的衰变纲图是在本实验的基础上以及文献[7]给出的 $^{131}\text{Nd}$ 核的低能级的顺序尝试性地提出的,其中 146.0keV 的 $\gamma$ 射线在测得的单谱中被一条很强的 147.0keV 的射线所淹没,但 146.0keV $\gamma$ 射线在以 185.0 或 220.0keV $\gamma$ 射线开门的符合谱中都清楚地显示出来,并且它与 Nd 的特征 X 射线符合. 因此尽管它的半衰期无法由单谱中测量,但由于同其它 $\gamma$ 射线的符合关系,仍然可以给出它在衰变纲图中的位置.

## 4 讨论

除了上述测得的 3 条 $\gamma$ 射线以外,根据文献[7]报告的 $^{131}\text{Nd}$ 核在束能级的低能部分,预期还有 331 和 405keV 的 $\gamma$ 跃迁,但是在本实验中未观测到它们,A. N. James 等人<sup>[6]</sup>也未观测到这两条 $\gamma$ 射线.

此外,本工作中确定的 $^{131}\text{Pm}$ 核的半衰期与 $^{132}\text{Pm}$ 核的已知半衰期非常类似,但是 $^{132}\text{Pm}$ 是一个已知的 $\beta$ 延迟质子发射的先驱核,在 $^{132}\text{Pm}$ 核的衰变 $\gamma$ 射线中并没有出现 185.0、220.0、146.0keV 3 条 $\gamma$ 射线<sup>[5]</sup>,而且也未在其子体 $^{132}\text{Nd}$ 核的衰变中观测到 87.8keV 的 $\gamma$ 射线.

## 参 考 文 献

- [1] Nowicki G P, Buschmann J, Hanser A et al. Nucl. Phys., 1975, A249:76—92
- [2] Klinken J Van, Feenstra S J. Phys. Rev., 1975, C12(6):2111—2114
- [3] Redon N, Ollivier T, Beraud B et al. Z. Phys., 1986, A325:127—138
- [4] Shaheen Rab. Nucl. Data Sheets, 1995, 75:491—665
- [5] Wilmarth P A, Nitschke J M et al. Z. Phys., 1985, A321:179—180
- [6] James A N, Connell K A et al. Daresbury Annual Reports 1985/86.103
- [7] Sergeev Yu V, Knazov Yu L et al. Nucl. Data Sheets, 1994, 72:487—615
- [8] Bogdanov D D, Demyanov A V et al. Nucl. Phys., 1977, A275:229—236

## First Observation of $^{131}\text{Pm}$ Decay \*

Gan Zaiguo    Guo Junsheng    Shi Lijun    Liu Hongye    Qin Zhi  
Guo Tianrui    Lei Xiangguo    Ma Ruichang    Huang Wenxue  
Yuan Shuanggui    Zhang Xueqian    Jin Genming

(Institute of Modern Physics, The Chinese Academy of Sciences, Lanzhou 730000)

**Abstract**  $^{131}\text{Pm}$  nucleus was produced in the  $^{106}\text{Cd}$  ( $^{32}\text{S}$ , 3p4n)  $^{131}\text{Pm}$  reaction. The products were transported by helium jet and tape system, and X,  $\gamma$  single spectra and X- $\gamma$ ,  $\gamma$ - $\gamma$  coincidence spectra were measured. The half-life of  $^{131}\text{Pm}$  has been determined to be  $(6.3 \pm 0.8)\text{s}$ . A partial decay scheme of  $^{131}\text{Pm}$  is proposed.

**Key words** decay of  $^{131}\text{Pm}$ , half-life, decay scheme

---

Received 12 August 1997

\* Supported by the National Science Foundation of China (19475052) and Supported by Major Subject of the Chinese Academy of Sciences